



شناسایی گستنگی‌های ساختاری و نقاط تغییر سری زمانی بارش در مناطق کوهستانی (مطالعه موردی: ایستگاه سینوپتیک خرم‌آباد)

حمدید میرهاشمی^{*}، استادیار گروه جغرافیا، دانشکده ادبیات و علوم انسانی، دانشگاه لرستان، خرم‌آباد، ایران.

پذیرش نهایی: ۱۳۹۹/۱۱/۱۵

تاریخ دریافت: ۱۳۹۹/۱۰/۱۲

چکیده

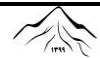
شناسایی روندها و گستنگی‌های ساختاری در سری زمانی بارش به عنوان یکی از مهمترین چالش‌ها در مطالعه‌ی تغییر اقلیم محسوب می‌شود، چرا که کشف چنین گستنگی‌های می‌تواند به ارزیابی مطلوب سناریوهای آینده و پدیده‌های حدی همچون سیل و خشکسالی منجر گردد. در این مطالعه به منظور شناسایی گستنگی‌های ساختاری در سری زمانی بارش روزانه و ماهانه ایستگاه سینوپتیک خرم‌آباد از دو رویکرد تحلیل چندفرکتالی نوسان‌های روندزدایی شده (MF-DFA) و تحلیل موجک گستنگی با بیشینه همپوشانی (MODWT) استفاده شد. نتایج حاصل از کاربرد MF-DFA بر روی سری زمانی بارش روزانه (۱۹۶۱-۲۰۱۸) نشان داد که سه نقطه گستنگی در این سری زمانی وجود دارد که روند بارش در پیامون این نقاط به طور مشخصی تغییر پیدا کرده است. از سویی، نتایج این رویکرد مشخص کرد که دوره ۲۰۰۲-۲۰۰۵ به عنوان نوسانی‌ترین دوره بارش و دوره‌های ۱۹۶۹-۱۹۶۱ و ۲۰۱۰-۲۰۱۸ به عنوان دوره‌هایی با کمترین نوسان‌ها در بارش جلوه می‌کنند. محاسبه تابع نوسان در مقیاس‌های زمانی ۲، ۵، ۱۰ و ۲۰ ساله نشان داد که در دوره ۲۰۰۰-۲۰۱۸، نوسان‌های ۲ تا ۲۰ ساله بارش کاهش یافته‌اند. همچنین نتایج حاصل از تابع نوسان با q مین مرتبه نیز روشن کرد که دوره‌های ۱۹۷۰-۱۹۶۵ و ۱۹۹۴-۱۹۸۹ به دوره‌های ۱۹۹۹-۲۰۰۴ و ۱۹۹۹-۲۰۱۳ به دوره‌هایی با نوسان‌های حدی کوچک بارش اشاره دارند. همچنین نتایج بدست آمده از کاربرد MODWT بر روی سری زمانی بارش ماهانه نشان داد که ضرایب موجک در سال ۲۰۰۷ دستخوش تغییر شده‌اند. در این راستا با تقسیم سیگنال‌های فرکانس بالای موجکی به دو دوره شامل ۱۹۶۱-۲۰۰۷ و ۲۰۰۸-۲۰۱۸، مشخص شد که اختلاف بین نوسان‌های بارش در خلال مقیاس‌های ۸ تا ۱۶ ماه از بیشترین تغییرپذیری در سری زمانی بارش برخوردارند.

واژگان کلیدی: نوسان، گستنگی، چند فرکتالی، موجک، خرم‌آباد.

^{*} نویسنده مسئول Email: mirhashemi.h@lu.ac.ir

نحوه استنادهای به مقاله:

میرهاشمی، حمید (۱۳۹۹). شناسایی گستنگی‌های ساختاری و نقاط تغییر سری زمانی بارش در مناطق کوهستانی (مطالعه موردی: ایستگاه سینوپتیک خرم‌آباد). فصلنامه مطالعات جغرافیایی مناطق کوهستانی. سال اول، شماره ۴ (۴). صص ۱-۱۶. Doi:10.29252/gsma.1.4.1.



۱. مقدمه

همکاران، ۲۰۱۲). از سویی، هر تغییری در توزیع معمول بارش، به طوری مؤثری بر امنیت عدا و مدیریت و برنامه‌ریزی آب در یک کشور تأثیر جدی می‌گذارد (زواری^{۱۱} و همکاران، ۲۰۱۶). بنابراین یکی از مهمترین چالش‌ها در مطالعه‌های تغییر اقلیم باید مبنی بر شناسایی روندها و نقاط گستنگی در سری زمانی بارش باشد (نما^{۱۲} و همکاران، ۲۰۱۸). اگرچه از یک سو به سبب کوتاه‌بودن ثبت مشاهدات بارش، سری زمانی آن اغلب به صورت یک فرایند کاملاً غیرخطی و نامنظم جلوه می‌کند (والنسیا^{۱۳} و همکاران، ۲۰۱۰) و از سویی دیگر به سبب تأثیر گرمایش جهانی و تأثیرپذیری بارش از بسیاری از فرایندهای جوی، اصولاً بارش به صورت یک سیگنال نوسانی و چندمقیاسی نمایان می‌شود. ولی ابزارهای قدرتمندی همچنون تبدیل موجک و تحلیل چندفرکتالی نوسان‌های روندزدایی شده (MF-DFA) وجود دارند که قادراند چنین تغییراتی را در سیگنال‌های نایستا و نوسانی همانند سیگنال بارش، کشف کنند. چراکه معمولاً سری‌های زمانی از نوسان‌های فصلی، کوتاه‌مدت و بلندمدت برخوردارند (ژو^{۱۴} و همکان، ۲۰۱۴). بنابراین یک مفهوم مهم در تحلیل سری‌های زمانی، چندمقیاسی بودن سری زمانی است که نشانده‌نده پدیده‌های است که هر کدام در افق‌های زمانی متفاوتی اتفاق می‌افتد (فان^{۱۵} و همکاران، ۲۰۱۳). در این راستا، تبدیل موجک، براساس زمان و فرکانس، یک سری زمانی را به تعداد کوچکی از سری‌های زمانی‌های تجزیه می‌کند که هر کدام از این سری‌های زمانی مبتنی بر افق زمانی یا مقیاسی متفاوت‌اند که بدین ترتیب بسیاری از خصوصیات سری

ایده غالب معتقدین به تغییر آب و هوا بر این موضوع استوار است که افزایش در گازهای گلخانه‌ای باعث گرم شدن جو و تأثیر در سایر پارامترهای مرتبط با سیستم زمین - جو می‌شود. به عبارتی، می‌توان مهمترین تأثیر مستقیم افزایش گازهای گلخانه‌ای را در افزایش درجه حرارت توأم با خشکسالی‌ها و رخداد ناهنجاری‌های هیدرولوژیکی، تغییر شکل نزولات جوی، تغییر زمانی - مکانی رخداد بارش، شدت و مقدار بارش‌ها و موقع سیلاب‌ها و خشکسالی‌های ناشی از آن دانست (خوشیددشت و همکاران، ۱۳۹۲). بسیاری از مطالعه‌ها نشان داده‌اند که گرمایش جهانی به عنوان عامل اصلی تشدید چرخه هیدرولوژی به شمار می‌رود (منیو^۱ و همکاران، ۲۰۱۳، پاندی^۲ و همکاران، ۲۰۱۷). در این خصوص بارش به عنوان یکی از مهمترین مؤلفه‌های چرخه هیدرولوژی و دستگاه زمین - جو، تأثیر زیادی از گرمایش جو می‌پذیرد. چنان‌که افزایش گرمای جو موجب افزایش ظرفیت نگه داشت آب در جو شده (ترنبرث^۳ ۲۰۱۱) و به عبارتی افزایش حرارت جو با احتساب بر معادله کلاسیوس - کلارپن، منجر به افزایش فشار بخار آب شباع جو می‌شود (لیپرت و پریودی^۴ ۲۰۰۹) که به این ترتیب، شدت و فرکانس رخداد بارش (مین^۵ و همکاران ۲۰۱۱ و آلفری^۶ و همکاران ۲۰۱۵) و به طور کلی، الگوی بارش دستخوش تغییر می‌شود (باندی و همکاران، ۲۰۱۷، تیبالدی^۷ و همکاران، ۲۰۰۶، جوس^۸ و همکاران، ۲۰۰۱، ستی^۹ و همکاران، ۲۰۱۵، هلمن^{۱۰}، ۲۰۰۶، برخورداریان و

۱ Meenu

۲ Pandey

۳ Trenberth

۴ Liepert and Previdi

۵ Min

۶ Alfieri

۷ Tebaldi

۸ Joos

۹ Sethi

۱۰ Holman

۱۱ Zaveri

۱۲ Nema

۱۳ Valencia

۱۴ Zhou

۱۵-Fan



روندهای شده و آنالیز موجک گستته با بیشینه همپوشانی (MODWT) استفاده شد.

تحلیل چند فرکتالی نوسان‌های روندزدایی شده (MF-DFA)

نظر به اینکه گستگی ساختاری، زمانی پدید می‌آید که یک تغییر ناگهانی یا تغییر در واریانس، میانگین یا روند سری زمانی اتفاق یافتد (گالگر و لاند^۱، ۲۰۱۳؛ پائول و همکاران^۲، ۲۰۱۹)، بنابراین شناسایی نوسان‌های موجود در سری زمانی می‌تواند گامی مهم در کشف نقاط گستگی منوط به تغییر در نوسان‌های بارش محسوب شود. تبیینی معمول از نوسان‌های موجود در سری زمانی می‌تواند مبتنی بر محاسبه میانگین نوسان به صورت ریشه میانگین مربعات نوسان یک سری زمانی (RMS) باشد. در ادامه، به منظور شناسایی نوسان‌های سری زمانی بارش و نقاط گستگی مرتبط با آن و در نظرگیری سری زمانی بارش روزانه ایستگاه سینوپتیک خرم‌آباد به صورت $x(k)$ که $k = 1, 2, \dots, N$ (طول سری زمانی بارش) از رویکرد MF-DFA به ترتیب زیر برای شناسایی نقاط گستگی استفاده شد.

در گام اول: انحراف تجمعی سری زمانی بارش با استفاده از رابطه ۱ به صورت نیمرخ $(\bar{Y}(i))$ که $\langle x \rangle$ میانگین سری زمانی x_k است، حساب شد.

$$\bar{Y}(i) = \sum_{k=1}^i (x_k - \langle x \rangle), \quad i = 1, \dots, N \quad (1)$$

در گام دوم، نیمرخ $\bar{Y}(i)$ به تعداد $N_s = \text{int}(N/s)$ مقياسي به اندازه $S=3000$ هستند تقسيم شد. در گام سوم، روند محلی هر کدام از زيرسيگنال‌های N_s ، از طریق برازش حداقل مربعات y (خط برازش در بخش ۷ است)

زمانی مانند روند، دوره‌ها و گستگی و نقاط تغییر، معین می‌شوند (لیت^۳، ۲۰۰۵، سانگ^۴ و همکاران، ۲۰۰۹، جوشی^۵ و همکاران، ۲۰۱۶ و پاندی و همکاران، ۲۰۱۷). از سویی، MF-DFA تکنیکی است که برای تحلیل نوسان‌های محلی با مقیاس‌های زمانی متفاوت توسط کنتل‌هاردت (۲۰۰۲) معرفی شد که در واقع این تکنیک، نسخه تعمیم‌یافته تحلیل نوسان‌های روندزدایی شده است که توسط پنگ^۶ و همکاران (۱۹۹۴) ارائه شده بود. چنانکه در بسیاری از مطالعه‌ها به منظور کشف خصوصیات فرکتالی، کشف حافظه و روندها و نقاط گستگی در سری‌های زمانی نایستا بکار رفته است (ماتساکوس^۷ و همکاران، ۲۰۰۰، کوسیلینی^۸ و همکاران، ۲۰۰۶، کنتل‌هاردت^۹ و همکاران، ۲۰۰۶، اگبازو^{۱۰} و همکاران، ۲۰۱۹) این رویکرد با شناسایی نوسان‌های کند و سریع، قادر است که نقاط گستگی را در سری‌های زمانی شناسایی کند (پریا دارشی^{۱۱} و همکاران، ۲۰۲۰). بنابراین هدف از مطالعه حاضر کشف و شناسایی نقاط گستگی و نقاط تغییر سری زمانی بارش روزانه و ماهانه ایستگاه سینوپتیک خرم‌آباد است.

۲. روش تحقیق

داده‌های مورداستفاده در این مطالعه، عبارت از سری زمانی بارش روزانه و ماهانه ایستگاه سینوپتیک خرم‌آباد با پوشش زمانی ۱۹۶۱-۲۰۱۸ هستند. به منظور رهیافت به هدف مطالعه یعنی کشف گستگی ساختاری و نقاط تغییر در سری زمانی بارش ایستگاه سینوپتیک خرم‌آباد از دو رویکرد شامل تحلیل چندفرکتالی نوسان‌های

1 Labat

2 Sang

3 Joshi

4 Peng

5 Matsoukas

6 Koscielny-Bunde

7 Kentelhardt

8 Agbazo

9 Priyadarshi

(لیست و همکاران، ۲۰۱۱). برای مشخص کردن رابطه بین s با $F_q(s)$ ، رابطه ۳ برای تمامی مقیاس‌های زمانی s محاسبه شد. در گام ۵: با ترسیم نمودار لگاریتمی (s) در مقابل مقیاس s ، برای هر رتبه از v ، رفتار مقیاسی توابع نوسان تعیین شد. در این خصوص، اگر سری‌های زمانی x_i به صورت قانون توانی همبسته باشند آنگاه (s) به پیروی از قانون توانی با افزایش s افزایش پیدا می‌کند.

اگر مقادیر مثبت q بررسی شوند، بخش‌های v با نوسان بزرگ، مقدار میانگین (s) F_q را تعیین خواهند کرد. به این ترتیب، نمایه (q) $h(q)$ مقادیر مثبت q ، رفتار مقیاسی بخش‌های با نوسان‌های بزرگ را تبیین می‌کند. برای مقادیر منفی q ، بخش‌های با نوسان کوچک، مقدار میانگین $F_q(s)$ را مشخص می‌کنند. بنابراین نمایه (s) مقادیر منفی q ، رفتار مقیاسی بخش‌های با نوسان کوچک را تبیین می‌کند (کنل‌هاردت، ۲۰۰۱ و موحد و همکاران، ۲۰۰۶). اگر نمودار لگاریتمی در مقابل s برازش داده شود، شبیه خط حاصله، نمایه هرست تعیین یافته نام دارد. در صورتی که این نمایه مقیاسی به مرتبه نوسان وابسته به باشد، سری زمانی موردنظر از ماهیت چندفرکتالی برخوردار بوده و در غیر این صورت دلالت به ماهیت تکفرکتالی سری زمانی مربوطه دارد.

$$F_q(s) \propto s^{h(q)} \quad (4)$$

آالیز موجک گستته با بیشینه همپوشانی (MODWT)

موجک‌ها توابع ریاضی هستند که داده‌ها را به مؤلفه‌های فرکانسی، تجزیه کرده و هر مؤلفه را با قدرت متناسب با مقیاس آن مؤلفه ارزیابی می‌کنند. موجک‌ها، نمونه‌های انتقال یافته و مقیاس شده یک تابع (موجک مادر) با طول متناهی و نوسانی شدیداً میرا هستند. به واقع تبدیل

به سری‌های زمانی و آنگاه با کسر داده‌ها از این روندهای محلی، نیمرخ (i) $Y(i)$ روندزدایی شد و در ادامه نوسان محلی v با استفاده از رابطه $F^2(s, v)$ هر بخش $v=1, \dots, N_s$ در ۲ تعیین شد.

$$F^2(s, v) = \frac{1}{s} \sum_{i=1}^s \left\{ Y[(v-1)s+i] \right\}^2 \quad (2)$$

در گام چهارم: رابطه قانون توانی بین نوسان کلی و مقیاس‌های زمانی s از طریق تحلیل تکفرکتالی نوسان‌های روندزدایی شده تعریف شد که نمایه هرست H نامیده می‌شود. از سویی، تحلیل چندفرکتالی نوسان کلی روندزدایی شده از طریق بسط q امین مرتبه تابع نوسان کلی بدست می‌آید. به ترتیبی که تابع نوسان محلی q امین مرتبه نوسان، بخش‌هایی با نوسان کوچک را از بخش‌هایی با نوسان بزرگ تمیز می‌دهد. بنابراین رابطه قانون توانی بین نوسان محلی q امین مرتبه، به عنوان نمایه هرست تعیین یافته (q) تعریف می‌شود. در گام چهارم: بامیانگین گیری تابع نوسان برروی همه بخش‌ها، تابع نوسان مرتبه q بدست آمد (رابطه ۳).

$$F_q(s) = \left\{ \frac{1}{N_s} \sum_{v=1}^{N_s} [F^2(s, v)]^{q/2} \right\}^{1/q} \quad (3)$$

از سویی، کمیت q را می‌توان با هر مقداری به غیر از صفر مقداردهی کرد (موحد و همکاران، ۲۰۰۶). بنابراین در این مطالعه، q با مقادیر ۳ تا -۳- با گام افزایشی ۱ مقداردهی شد. شایان ذکر است که $q=2$ همان نمایه تحلیل تکفرکتالی نوسان‌های روندزدایی شده است. برای تعیین رابطه بین میانگین نوسان و اندازه سری زمانی، گام‌های ۲ تا ۳ برای تمامی مقیاس‌های زمانی تکرار می‌شوند. معمولاً تابع توان با افزایش مقیاس افزایش می‌یابد. رابطه خطی بین این دو، حضور مقیاس قانون توانی و فرکتال را نشان می‌دهد



شده و تجزیه و تحلیل بر روی مؤلفه‌های فرکانس پایین اطلاعات انجام خواهد شد. هرچه مقیاس مورداستفاده کوچک‌تر باشد موجک پایه فشرده‌تر شده و تجزیه و تحلیل بر روی مؤلفه‌های فرکانس بالا انجام می‌شود. مؤلفه‌های فرکانس پایین (مقیاس بزرگ) نشان‌دهنده روند یک سری زمانی و مؤلفه‌های فرکانس بالا (مقیاس کوچک) بیانگر تغییرات فصلی، دوره‌ای و نامنظم یک سری زمانی هستند. تجزیه و تحلیل موجک‌ها را می‌توان در دو حالت کلی پیوسته (CWT^۲) و گسسته (DWT^۳) انجام داد. تبدیل موجک پیوسته، تابعی از زمان است که با استفاده از دو پارامتر مقیاس و مکان می‌تواند حاوی میزان بالایی از اطلاعات در هنگام تجزیه و تحلیل داده‌ها باشد. به خصوص، اطلاعات کافی برای تشخیص و یافتن جهش‌ها و از هم گستنگی‌های موجود در نمونه را به آسانی در اختیار می‌گذارد. بنابراین، موجک امکان تمرکز بر روی جهش‌ها، بر جستگی‌ها و نقاط تکین را فراهم می‌کند (عباسی نژاد و محمدی، ۱۳۸۴، راعی و همکاران، ۱۳۹۴). اطلاعات کافی برای شناسایی چنین ویژگی‌هایی از سری زمانی حتی با قسمتی از تبدیل موجک پیوسته نیز در اختیار خواهد بود. بنابراین می‌توان عمل تجزیه را از یک تبدیل پیوسته با پارامترهای مکان و زمان به یک تبدیل با تعداد محدودتری از مقیاس‌های زمانی همراه با تعداد متفاوت از ضرایب موجک در هر مقیاس تعديل کرد. به واقع این همان تبدیل گسسته موجک است (فرزین‌وش و همکاران، ۱۳۹۲). تبدیل موجک پیوسته عموماً حاوی حجم بالایی از اطلاعات است که نیازی به همه آنها در بازسازی تابع و مشاهده و تحلیل پیوستگی‌ها نیست و حتی می‌توان با نمونه برداری، ضرایب موجک را به نحوی به دست آورید که تابع اصلی را از آنها بازسازی کرد (راغی و همکاران، ۱۳۹۴). تبدیل گسسته

موجک یک تابع پایه جدید بنام تابع مادر را بکار می‌برد که با کشیده‌شدن و انتقال بر روی محور زمان امکان شناسایی ویژگی‌ها و خصوصیات محلی را در حوزه‌های زمان - فرکانس فراهم می‌کند. طول تابع پایه تبدیل موجک در حوزه زمان بلند است، زمانی که پدیده‌هایی با فرکانس پایین را تشخیص می‌دهد و بدین ترتیب از قدرت تفکیک فرکانسی بهینه‌ای برای این پدیده‌ها برخوردار است. در صورتی که طول تابع پایه تبدیل موجک در حوزه زمان کوتاه باشد، پدیده‌هایی با فرکانس بالا را تشخیص می‌دهد است و بنابراین دارای قدرت تفکیک زمانی مناسبی برای این پدیده‌ها است. به طور کلی، با ترکیبی از کشیدگی‌ها و جایه جایی‌های زمانی مختلف تابع پایه مادر در تبدیل موجک امکان تشخیص و گرفتن کلیه اطلاعات موجود در یک سری زمانی و مرتبط کردن آنها با افق‌های زمانی مشخص و مکان زمانی آنها وجود دارد.

مزیت اصلی تبدیل موجک نسبت به تبدیل فوریه توان بالای تحلیل آن در شرایطی است که سری‌های زمانی از گستنگی و جهش‌های سریع برخوردار باشند. تحلیل موجک قادر است بسیاری از منظرهای پنهان داده‌هایی که دیگر روش‌های تحلیل سیگنال در شناسایی آن‌ها ناتوان هستند را شناسایی کند. به عبارتی تبدیلات موجک قادراند تا اطلاعات مفیدی را که به سادگی از سیگنال اصلی قابل بازیابی نیستند را به دست آورند (دابچیز^۱، ۱۹۹۲). در تئوری موجک اگر پنجره مورد بررسی بزرگ باشد ویژگی‌های کلی سری زمانی قابل مشاهده‌اند و اگر پنجره تحت بررسی کوچک باشد جزیيات مورد توجه بیشتری واقع خواهد شد. در این تبدیل با استفاده از موجک پایه و با مقیاس کردن و انتقال زمانی آن، داده‌ها تجزیه و تحلیل می‌شوند. هرچه مقیاس مورد استفاده بزرگ‌تر باشد موجک پایه بیشتر کشیده

دارد؛ بنابراین از این رویکرد برای شناسایی نقطه تغییر سری زمانی بارش ماهانه ایستگاه سینوپتیک خرمآباد استفاده شد.

۳. یافته‌های تحقیق

در این مطالعه نقاط تغییر و گستاخی‌های ساختاری سری زمانی بارش روزانه و ماهانه ایستگاه سینوپتیک خرمآباد با استفاده از تحلیل چندفرکتالی نوسان‌های روندزدایی شده (MF-DFA) و تحلیل موجک گستته با بیشینه همپوشانی (MODWT) بررسی شد. پیش از پرداختن به نتایج مبتنی بر موضوع یادشده، خصوصیات آماری سری زمانی بارش روزانه و ماهانه ارائه می‌شود تا براین اساس زوایایی سیگنال بارش ایستگاه سینوپتیک خرمآباد روشن‌تر شود.

ویژگی‌های سری زمانی بارش روزانه و ماهانه

نمایش سری زمانی بارش روزانه ایستگاه سینوپتیک خرمآباد، نشان از وجود نوسان‌های نسبتاً شدید بارش روزانه این ایستگاه دارد (شکل ۱). در این خصوص محاسبه ضریب پراکندگی بارش این ایستگاه به مقدار 13° درصد، به بی‌نظمی مقدار بارش روزانه این ایستگاه در گستره زمان اشاره می‌کند. همچنین ضریب چولگی سری زمانی بارش به مقدار $2/4$ ، نشان‌دهنده فراوانی بیشتر تعداد روزهای بارشی کمتر از میانگین نسبت به تعداد روزهای بارشی بیشتر از میانگین است. به عبارتی تعداد روزهای با بارش $1/0$ تا 7 میلی‌متر، دو برابر تعداد روزهایی با بارش بیشتر از 7 میلی‌متر هستند.

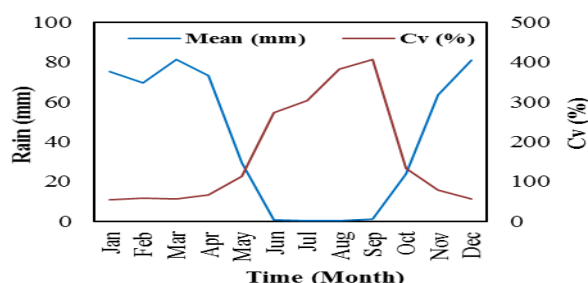
از سویی، میانگین بلندمدت بارش سالانه خرمآباد به مقدار 500 میلی‌متر با ضریب پراکندگی 26 درصد محاسبه شد. این مقدار پراکنش نشان از نظم نسبی بارش سالانه خرمآباد دارد. در مقیاس زمانی ماهانه، ماه‌های دسامبر و مارس با میانگین بارش 81 میلی‌متر به عنوان پربارش‌ترین ماه‌های سال و سه ماه ژوئن، جولای و آگوست با میانگین

موجکی جهت پیش‌پردازش و تحلیل سری‌های زمانی مناسب‌تر از تبدیل پیوسته موجکی هست، بدین ترتیب که داده‌های تبدیل یافته با DWT اجزای اضافی نداشته و بنابراین تبدیل معکوس را می‌توان برای هر دسته از داده‌های زمان - فرکانس به کار برد (طفانی و همکاران، ۱۳۸۹؛ حسن‌زاده و همکاران، ۱۳۹۱). از سویی، یکی از محدودیت‌های تبدیل موجک گستته آن است که تعداد مشاهدات باید مضربی از 2 باشد. همچنین، تابع تبدیل موجک گستته نسبت به نقطه شروع سری زمانی حساس است (راعی و همکاران، ۱۳۹۴). تبدیل موجک با بیشینه همپوشانی، نسخه اصلاح‌شده تبدیل موجک گستته است. تبدیل موجک با بیشینه همپوشانی می‌تواند در مورد سری‌های زمانی با هر تعداد مشاهده بکار رود. برخلاف تبدیل موجک گستته که پس از هر مرحله از انجام الگوریتم، سری زمانی اصلی به دو سری با طول نصف سری مرحله قبل تقسیم می‌شود، در این تبدیل در هر مرحله اندازه سری جزئیات و سری کلیات برابر با سری اصلی است. این رویکرد اجازه می‌دهد تا داده‌های تجزیه‌شده در مقیاس‌های مختلف اعم از روند و جزئیات سری زمانی با هم‌دیگر و سری زمانی اصلی به صورت هم‌تراز استخراج شوند (فروزنوش و همکاران، ۱۳۹۲). همچنین تخمین‌گر واریانس در این موجک کارتر از DWT است (شمس و همکاران، ۱۳۸۴). چنانکه بکارگیری این ابزار، امکان برقراری رابطه بین متغیرهای را به صورت دینامیک و پیگیری تغییرات آنها را در طی زمان از منظر شدت و جهت تغییرات و تحلیل‌های کوتاه‌مدت، میان‌مدت و بلندمدت و تحلیل زمان - فرکانس را مهیا می‌کند. نظر به هدف پژوهش که مبتنی بر تخمین واریانس یا تغییرات اتفاق افتاده در سری زمانی بارش است و همچنین با توجه به توانایی که MODWT در تخمین واریانس و کشف نوسان‌ها بر عهده

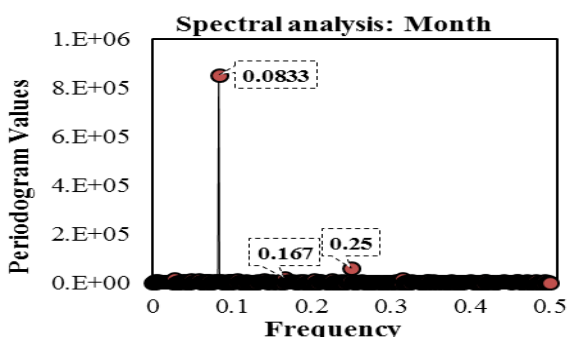


بودن ۴ درصد از سری زمانی، در ایستگاه خرمآباد وجود دارد. به طور کلی طبقه‌های بارشی بیش از ۵۰ میلی‌متر به ترتیب ۳۸ درصد از سری زمانی ایستگاه خرمآباد را به خود اختصاص می‌دهند (شکل ۳).

در ادامه، با کاربرد تحلیل طیفی، فرکانس‌ها و چرخه‌های بارش ماهانه ایستگاه خرمآباد استخراج شد. چنان‌که از پریودوگرام این اجراء مشخص است، فرکانس‌های ۰/۰۸۳۳، ۰/۰۲۵ و ۰/۱۶۷ برای سری زمانی بارش ماهانه خرمآباد قابل مشاهده‌اند (شکل ۴). فرکانس ۰/۰۸۳۳ معرف چرخه ۱۲ ماهه یعنی چرخه یک ساله و فرکانس‌های ۰/۰۲۵ و ۰/۱۶۷ به ترتیب دلالت بر چرخه‌های ۴ و ۶ ماهه دارند. این چرخه ۴ ماهه بارش ایستگاه خرمآباد بیان‌گردو نقطه نقل بارش قوی یعنی دسامبر و مارس است که در بخش پیشین تشریح شد. این یافته، به وجود دو هسته بارش ماهانه قوی در سری زمانی بارش ایستگاه خرمآباد اشاره می‌کند.

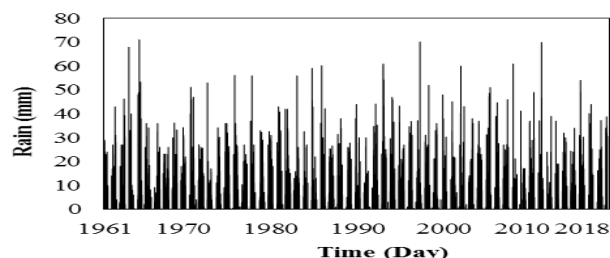


شکل ۲. تغییر ماهانه میانگین و ضریب تغییرات بارش خرمآباد، منبع: نگارنده، ۱۳۹۹

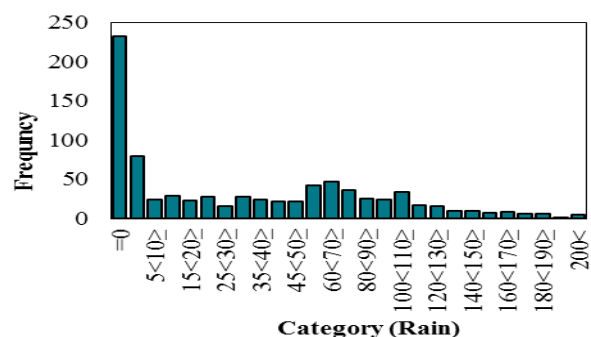


شکل ۳. پریودوگرام سری زمانی بارش ماهانه (۱۹۶۱-۲۰۱۸)

بارش کمتر از یک میلی‌متر و سپتامبر با کمتر از ۲ میلی‌متر به عنوان خشک‌ترین ماه‌های سال شناسایی شدند. در این خصوص بیشترین پراکندگی زمانی بارش مربوط به سپتامبر با ۴۰۷ درصد و کمترین پراکندگی بارش به ژانویه با ۵۵ درصد اختصاص دارد. به طور کلی پراکندگی بارش در ۶ ماه سال یعنی از نوامبر تا آوریل نسبت به شش ماه دیگر سال در سطحی بسیار پایین‌تری قرار دارد و رژیم بارش در ۶ ماه یادشده از نظام بیشتری برخوردار است (شکل ۲). در این خصوص، طبقه‌بندی مقادیر بارش ماهانه نشان می‌دهد که حدود ۲۸ درصد از ماه‌های تحت بررسی در ایستگاه خرمآباد، قادر بارش بوده‌اند. فراوانی روزهای با بارش کمتر از ۵ میلی‌متر در بین سایر طبقه‌های بارشی در رتبه دوم قرار دارد، چنان‌که در حدود ۱۰ درصد از سری زمانی بارش به این طبقه بارشی خرمآباد، وجود یک برآمدگی در فاصله طبقه‌های بارشی خرمآباد، وجود یک برآمدگی در فاصله ۵۰ تا ۱۰۰ میلی‌متر با نقطه نقل ۶۰-۷۰ میلی‌متر است. از سویی، یک طبقه وزین ۱۱۰ تا ۱۰۰ میلی‌متر با دارا



شکل ۱. سری زمانی بارش روزانه (۱۹۶۱-۲۰۱۸)

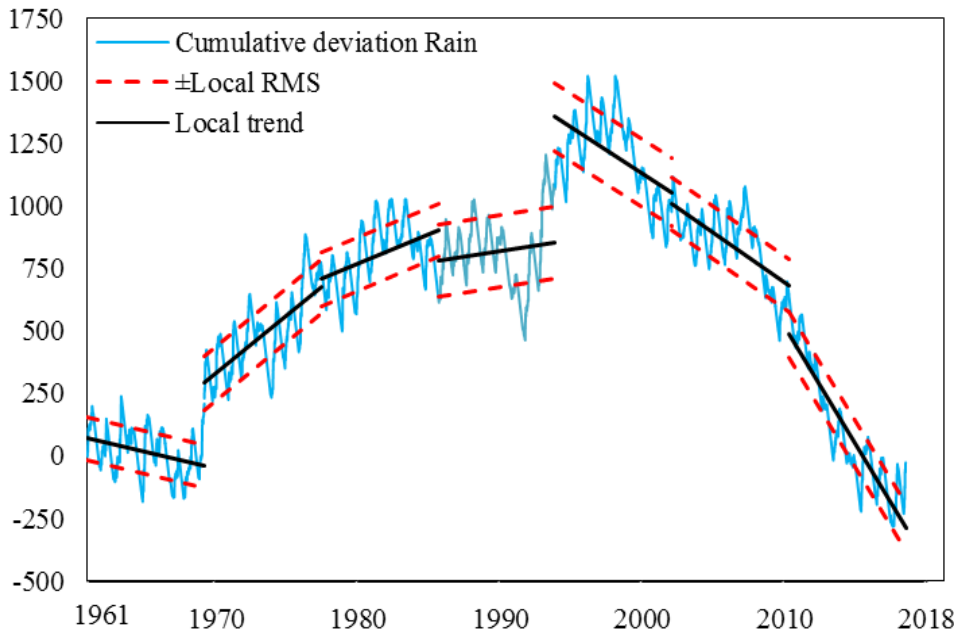


شکل ۴. نمودار طبقه‌بندی مقادیر بارش ماهانه (۱۹۶۱-۲۰۱۸)

نیمرخ تجمعی انحراف بارش روزانه از مقدار میانگین بلندمدت (رابطه ۱) به همراه ۷ تابع روند محلی مبتنی بر ۷ زیرسربی ناهمپوشان محاسبه شد (شکل ۵).

نقاط گستینگی زمانی

به منظور شناسایی روندهای محلی و کشف نوسانهای بزرگ و کوچک در داخل مقیاس‌های زمانی چندساله،



۵-نمودار انحرافی تجمعی بارش روزانه از میانگین بلندمدت و روندهای محلی سری زمانی بارش، منبع: نگارنده، ۱۳۹۹

کمترین نوسان بارش در دوره ۱۹۶۹-۱۹۶۱ و دوره ۲۰۱۰-

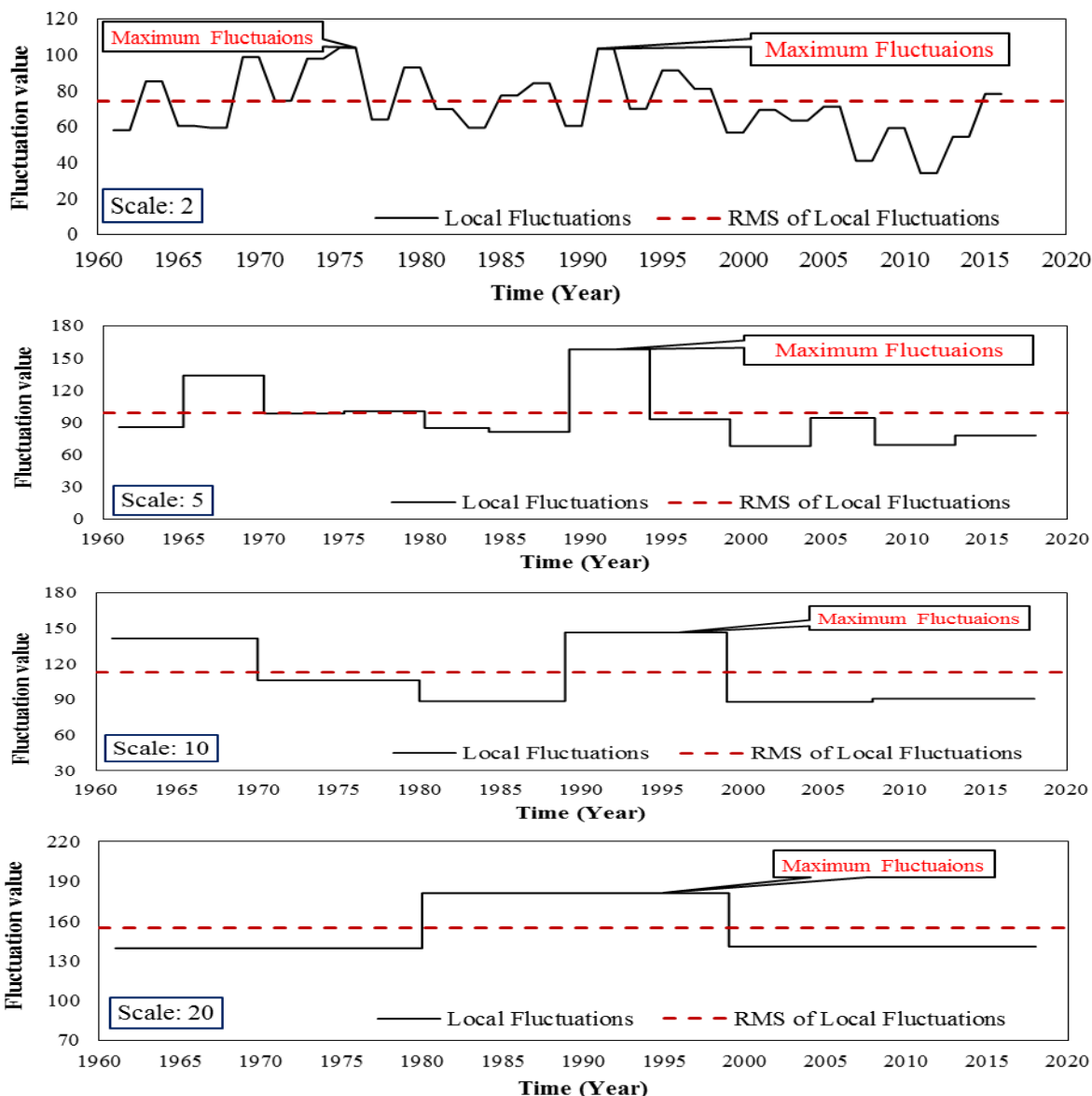
۲۰۱۸ اتفاق افتاده است. افزون براین، شدت آهنگ تغییرات این دوره‌های زمانی نیز متفاوت بوده و از لحاظ دینامیکی، پایداری و ناپایداری متفاوتی را نشان می‌دهند. همچنین افت و خیزهای محلی بسیار شدیدی نیز در سری زمانی مشاهده می‌شود که انعکاس آنها در تابع روند، تحت تأثیر نوسان‌های بزرگ قرار گرفته است. به عبارتی، نوسان‌های کوچکی در داخل نوسان‌های بزرگ وجود دارند که این نوسان‌های کوچک به سبب برخورداری از سرعت تغییر بسیار زیاد، عملاً در مقیاس‌های زمانی بزرگ به طور مناسبی بازنمود نمی‌شوند.

چنانکه مشخص است سری زمانی بارش خرم‌آباد از نوسان‌های سریع و گندی برخوردار بوده که نوسان‌های سریع، تابع نوسان را در مقیاس‌های زمانی کوچک و نوسان‌های گند، تابع نوسان را در مقیاس‌های زمانی بزرگ

چنانکه از شکل ۵ پیداست سه نقطه گستینگی در سری زمانی بارش وجود دارد. این نقاط گستینگی، نشان از تغییر روند بارش روزانه دارند. به طوری که سه روند کلی در بارش‌های روزانه شامل روند کاهشی، افزایشی و کاهشی قبل مشاهده‌اند. شایان توجه است که در دوره ۳۰ ساله اخیر نسبت به دوره ۳۰ ساله پیش از آن، روندهای بارش کاهشی بوده‌اند. از سویی، آهنگ تغییر روندهای محلی در هر کدام از زیرسربی‌های زمانی بارش از نوسان‌ها و شدت‌های محلی متفاوتی برخوردارند. چنانکه میانگین نوسان بارش در هر کدام از این دوره‌های بارشی متفاوت بوده است. در این خصوص، نوسانی ترین دوره بارشی، شامل دو دوره ۸ ساله متولی ۱۹۸۵-۱۹۹۳ با میانگین نوسان کلی ۱۴۳ و دوره ۱۹۹۴-۲۰۰۲ با میانگین نوسان کلی ۱۳۶ شناسایی شدند. به عبارتی، سری زمانی بارش روزانه ایستگاه خرم‌آباد در دوره ۱۶ ساله ۱۹۸۵-۲۰۰۲، بسیار نوسانی بوده است. همچنین

چندگانه شامل مقیاس زمانی ۲، ۵، ۱۰ و ۲۰ ساله محاسبه شد که نتیجه این فرایند در شکل شماره ۶ قابل مشاهده است.

تحت تأثیر قرار می‌دهند. بنابراین برای بر جسته‌سازی نقشی که نوسان‌های گند و سریع در دینامیک ساختار سری زمانی باش ایفا می‌کنند،تابع نوسان برای مقیاس‌های زمانی



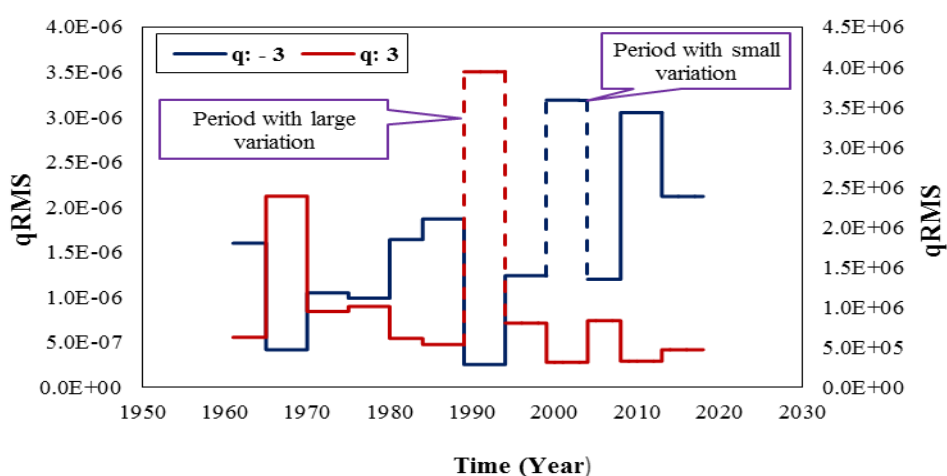
شکل ۶. نمودار نوسان‌های محلی برای بخش‌های چندگانه مقیاس‌های زمانی ۲، ۵، ۱۰ و ۲۰ ساله. خط چین قرمز: میانگین مربعات نوسان‌های محلی، خط ممتدا سیاه: نوسان‌های محلی برای هر بخش از مقیاس زمانی، منبع: نگارنده، منع: نگارنده، ۱۳۹۹

تابع نوسان در مقیاس‌های زمانی ۲، ۵، ۱۰ و ۲۰ ساله مشخص می‌شود که دوره نوسان‌های شدید در بارش شامل دو دوره در ابتدای سری زمانی و دهه ۱۹۹۰ بوده‌اند. به طور کلی بر حسب نتایج بدست آمده از تابع نوسان در مقیاس‌های چندگانه مشخص می‌شود که در دوره ۲۰ ساله اخیر، نوسان‌های ۲ تا ۲۰ ساله بارش کاهش یافته‌اند در صورتی که در دوره میانی سری زمانی، نوسان کلی بارش افزایش پیدا

نمایش می‌دهد که از سال ۲۰۱۸ تا ۲۰۰۰، نوسان‌های چندمقیاسی بارش روزانه کاهش پیدا کرده‌اند. همچنین در مقیاس زمانی ۲۰ ساله، نوسان‌های بارش در دوره ۱۹۸۰-۲۰۰۰، افزایش یافته‌اند. در صورتی که در مقیاس‌های زمانی ۱۰ و ۵ ساله به سبب دخالت نوسان‌های سریع در تابع مقیاس

بخش‌های با نوسان‌های حدی بزرگ و کوچک، تابع نوسان با $q = -3$ مرتبه شامل ۳-تا ۳ محاسبه شد. $q = -3$ به ترتیب، معرف بخش‌های با نوسان‌های حدی بزرگ و کوچک هستند. بنابراین برای مقایس ۵ ساله، دوره‌ای مبتنی بر $q = -3$ در شکل ۷ مشخص می‌کند که دوره‌های ۱۹۶۵-۱۹۷۰ و ۱۹۸۹-۱۹۹۴، دوره‌های با نوسان‌های حدی بزرگ بوده‌اند. بنابراین، این دو دوره زمانی به دوره‌های در سری زمانی بارش اشاره دارند که نقطه گستاخی بارش در پیرامون آنها اتفاق افتاده است. همچنین دوره‌های بانوسان‌های حدی کوچک که در شکل ۷ مبتنی بر $q = -3$ هستند در مقیاس‌های زمانی ۵ ساله در دو بازه زمانی ۱۹۹۹-۲۰۰۴ و ۲۰۰۸-۲۰۱۳ اتفاق افتاده‌اند.

کرده است. از سویی، سری زمانی بارش روزانه ایستگاه سینوپتیک خرم‌آباد از نوسان‌های محلی با مقادیر حدی بزرگ و کوچک نیز برخوردار بوده که حضور این نوسان‌های به نوعی از طریق ضربی چولگی و ضربی پراکندگی که در بخش‌های پیشین ارائه شد نمایان شدند. این ضرایب به عبارتی بیانگر عدم پیروی سری زمانی بارش از توزیع نرمال هستند هرچند که نمی‌توان بیان داشت که چولگی سری زمانی و نرمال‌بودن توزیع داده‌ها از رابطه مستقیمی برخوردارند. زیرا تحت شرایطی ممکن است چولگی سری زمانی بارش صفر باشد ولی توزیع سری زمانی از توزیع نرمال تبعیت نکند. بنابراین برای دستیابی به خصوصیات مقیاسی نوسان‌های حدی بزرگ و کوچک که در سری زمانی بارش وجود دارند و به عبارتی، شناسایی



شکل ۷- نوسان‌های محلی $q = -3$ مرتبه مقیاس ۵ ساله سری زمانی بارش روزانه ایستگاه سینوپتیک خرم‌آباد. منبع: نگارنده، ۱۳۹۹ و یک زیر سیگنال فرکانس پایین تجزیه شد. نتیجه این

فرایند، بدست آمدن سیگنال‌های بارش با مقیاس‌های زمانی ۲ تا ۳۲ ماه است. چنین مقیاس‌های زمانی که از تجزیه موجکی سیگنال اولیه بارش حاصل شده‌اند حاوی اطلاعاتی هستند که از سیگنال اصلی قابل بازیابی نیستند و جزء اطلاعات پنهان سیگنال به شمار می‌روند. به هر حال، پیگیری نقطه تغییر بروی واریانس ضرایب موجکی سیگنال‌های

در ادامه برای پیگیری نقاط تغییر در سری زمانی بارش ماهانه ایستگاه سینوپتیک خرم‌آباد از تحلیل موجک گستته با پیشینه همپوشانی استفاده شد. به طوری که یک تحلیل

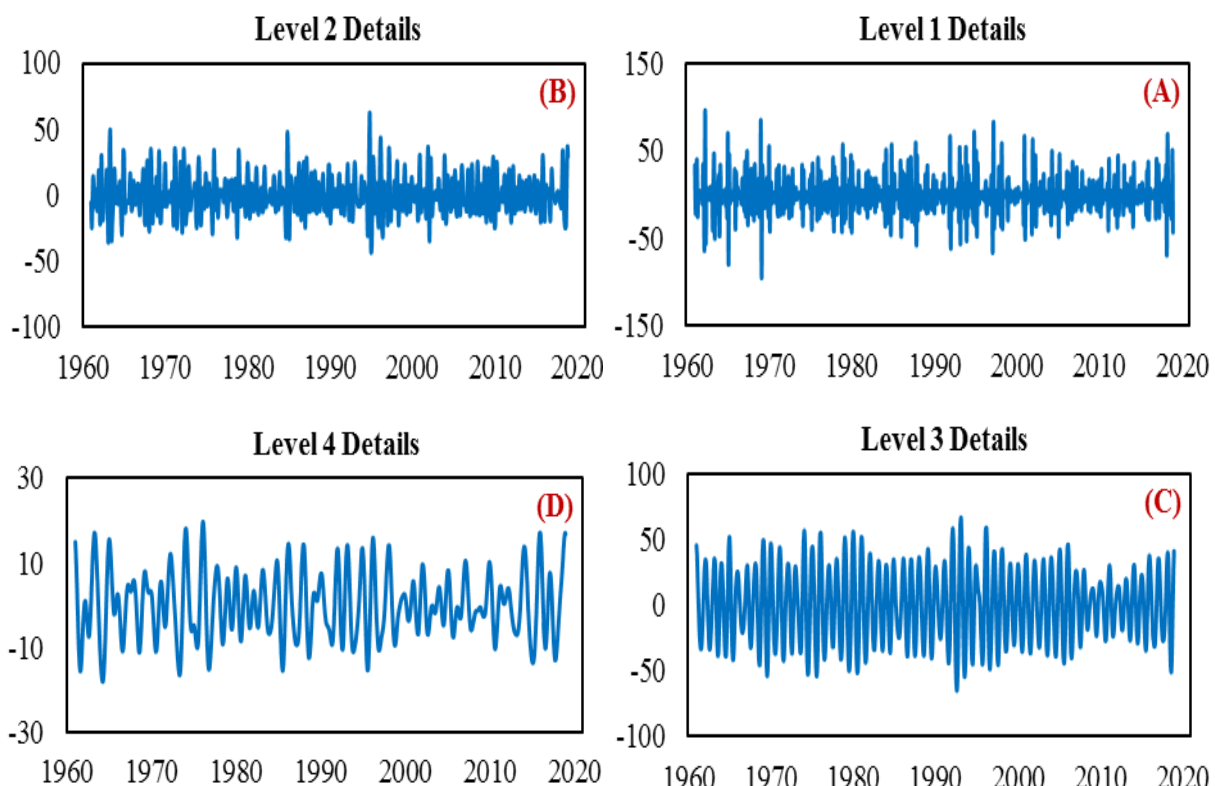
چندتفکیکی با کاربرد موجک مادر سیملت ۲ برای سیگنال بارش ماهانه بدست آمد. بدین ترتیب که سری زمانی بارش ماهانه تا ۴ سطح شامل ۴ زیر سیگنال فرکانس بالا (شکل ۸)



یا واریانس این دو دوره در مقیاس‌های ماهانه ۸ تا ۱۶ ماه اتفاق افتاده است (شکل ۹). به عبارتی، تفاوت معناداری بین واریانس سری زمانی بارش خرم‌آباد بر روی مقیاس‌های ۸ تا ۱۶ ماه وجود دارد. چنانکه نوسان‌های بارش ماهانه در خلال مقیاس‌های ۸ تا ۱۶ ماه از بیشترین تغییرپذیری در سری زمانی برخوردارند.

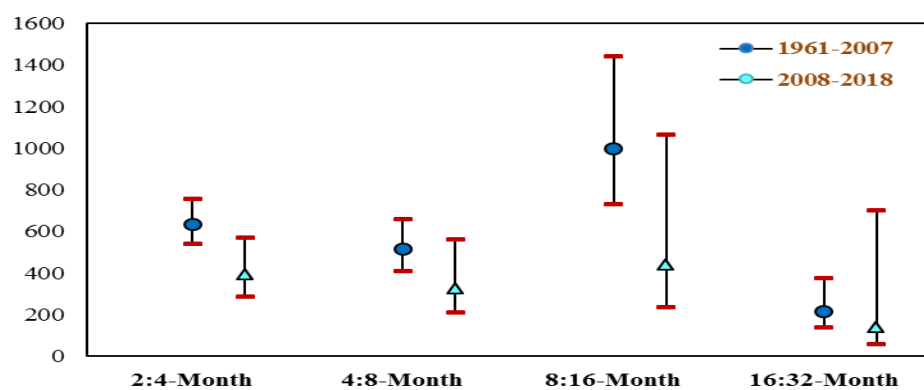
فرکانس بالا انجام گرفت که در این صورت مشخص شد ضرایب موجک در سال ۲۰۰۷ متتحمل تغییر شده‌اند. در ادامه به منظور ارزیابی پراکندگی بارش در قبل و بعد از سال ۲۰۰۷، سیگنال‌های فرکانس بالای موجکی به دو دوره شامل ۱۹۶۱-۲۰۰۷ و ۲۰۰۸-۲۰۱۸ تقسیم شدند.

مقایسه واریانس‌های موجکی این دو دور برای مقیاس‌های زمانی مختلف مشخص کرد که اختلاف بین پراکندگی



شکل ۸. سیگنال‌های فرکانس بالای بارش در سطح‌های A: سطح یک، B: سطح دو، C: سطح سه و D: سطح چهار.

منبع: نگارنده، ۱۳۹۹



شکل ۹. نمودار واریانس موجک برای سال‌های ۱۹۶۱-۲۰۰۷ و ۲۰۰۸-۲۰۱۸ بارش ماهانه ایستگاه سینوپتیک خرم‌آباد.

منبع: نگارنده، ۱۳۹۹

در پیامون سه نقطه گستنگی تغییر پیدا کرده‌اند، شدت نوسان‌های بارش نیز در گذر مقیاس‌های زمانی مختلف، متتحمل تغییر شده‌اند. آنچه از نتایج این رویکرد بدست آمد حاوی این نکته کلی بود که نوسان‌های بارش در مقیاس‌های ۲، ۵ و ۲۰ ساله، دوره ۲۰۰۰-۲۰۱۸ کاهش یافته‌اند به این عنوان که نوسان‌های حدی کوچک افزایش پیدا کرده‌اند. بنابراین از این دوره می‌توان به عنوان دوره‌ایی با بارش اندک و نسبتاً خشک، یاد کرد. از سویی، تجزیه سیگنال بارش با استفاده از MODWT و پیگیری نقطه تغییر برروی واریانس ضرایب موجکی سیگنال‌های فرکانس بالای بارش، نشان داد که ضرایب موجک در سال ۲۰۰۷ تغییر پیدا کرده‌اند. چنانکه با تقسیم سیگنال‌های فرکانس بالای موجکی به دو دوره شامل ۱۹۶۱-۲۰۰۷ و ۲۰۰۸-۲۰۱۸ معین شد که مشخص شد که اختلاف شدید بین و نوسان‌های بارش این دو دوره در خلال مقیاس‌های ۸ تا ۱۶ ماه اتفاق افتاده است. چنین دستاوردهی ضمن تأیید نتایج حاصل از MF-DFA که بیانگر اختلاف بین نوسان‌های بارش در دوره ۲۰ ساله اخیر سری زمانی تحت مطالعه با دوره ۲۰ ساله قبل، روشن کرد که این اختلاف‌های نوسانی در کدام مقیاس زمانی اتفاق افتاده‌اند.

۴. بحث و نتیجه‌گیری

سیگنال بارش در مناطق کوهستانی به سبب هم نهشت قوی مکانیزم‌های میان مقیاس و بزرگ مقیاس، بسیار پیچیده و نوسانی است. چنین خصوصیتی از بارش در گذر زمان نیز متتحمل تغییر می‌شود. به طوری که در برده‌های از دوره‌های زمانی، شدت نوسان‌های بارش کاهش و در برده‌های دیگر افزایش می‌یابد. بنابراین، شناخت نقاط گستنگی و کشف مقیاس‌های زمانی که نوسان‌های حدی بزرگ و کوچک بارش در بستر آن مقیاس زمانی متتحمل تغییرات معناداری شده‌اند موضوعی اجتناب‌ناپذیر در قلمرو پیش‌بینی، مدل‌سازی هوا و سناریوهای مبتنی بر برنامه‌ریزی‌های آتی است. این مطالعه، گامی در جهت شناخت ماهیت گستنگی‌های ساختاری و کشف نقاط تغییر سری زمانی بارش ایستگاه سینوپتیک خرم‌آباد است که در قلمرو کوهستان زاگرس قرار دارد. در این راستا از ابزار تحلیل چندفرکتالی نوسان‌های روندزدایی شده (MF-DFA) و آنالیز موجک گستته با بیشینه همپوشانی (MODWT) برای نیل به هدف طرح شده استفاده شد. نتایج حاصل از کاربرد MF-DFA برروی سری زمانی بارش روزانه ایستگاه خرم‌آباد نشان داد ضمن اینکه روند تغییرات بارش

فهرست منابع

حسن‌زاده یوسف؛ لطف اللهی یقین محمد علی؛ شاهوردی، سجاد؛ فرزین، سعید و فرزین، نیما. ۱۳۹۱. "نویزدایی و پیش‌بینی سری زمانی بر پایه الگوریتم موجک و نظریه آشوب (مطالعه موردی: شاخص پایش خشکسالی SPI شهر تبریز)". *نشریه تحقیقات منابع آب*، شماره ۳. صص ۱-۱۳.

خورشیددوست، علی محمد؛ رضایی بنشه، مجید؛ میرهاشمی، حمید و کاکولوند، یوسف^۳. "بررسی روند تغییرات بارش -دبي زير حوضه‌های رودخانه کرخه با استفاده از روش‌های ناپارامتریک مطالعه موردی: حوضه آبریز کشکان". *نشریه علوم و مهندسی آبیاری*. دوره ۳۸، شماره ۴(۴). صص ۱۷۷-۱۸۸.

راعی، رضا؛ محمدی، شاپور و فندرسکی، حنظله^۴. "پیش‌بینی شاخص بورس سهام با استفاده از شبکه عصبی و تبدیل موجک".

فصلنامه مدیریت دارایی و تأمین مالی. سال سوم، شماره ۱. صص ۵۵-۷۴.

شمس، شهاب‌الدین. ۱۳۸۷. "بررسی زمان مقیاس مدل قیمت‌گذاری دارایی سرمایه‌ها از طریق تبدیل موجک". پایان‌نامه

دکتری، دانشکده مدیریت دانشگاه تهران.



طفواني، پريوش؛ مساعدی، ابولفضل؛ فاخری فرد، احمد؛ دهقاني، اميراحمد و موسوی حسام. ۱۳۸۹. "پيش‌بیني بارش‌های ماهانه با استفاده از تئوري موجک و سری‌های زمانی". *اولين همايش توسعه منابع آب*. دانشگاه آزاد اسلام و اخذ اهواز. عباسی‌نژاد، حسین و محمدی، شاپور. ۱۳۸۴. "تحلیل سیکل‌های تجاری ایران با استفاده از نظریه موجک‌ها". *محله تحقیقات اقتصادی*. شماره ۷۵. صص ۲۰-۱.

فرزین‌وش، اسدالله؛ فرمان‌آرا، امید و محمدی، شاپور. ۱۳۹۲. "برآورد نسبت بهینه و شش ریسک در زمان - مقیاس‌های مختلف: رویکرد تجزیه و تحلیل موجک". *فصلنامه راهبرد اقتصادی*. سال دوم، شماره ۶. صص ۷-۴۰.

Agbazo, M. N., Koto N'gobi, G., Alamou, E., Kounouhewa, B., & Afouda, A. 2019. "Fractal analysis of the long-term memory in precipitation over Bénin (West Africa)", *Advances in Meteorology*. No. 2, 1-12.

Alfieri, L., Burek, P., Feyen, L., & Forzieri, G. 2015. "Global warming increases the frequency of river floods in Europe". *Hydrol. Earth Syst. Sci.* No. 19, PP. 2247–2260.

Barkhordarian, A., Bhend, J., & von Storch, H. 2012. "Consistency of observed near surface temperature trends with climate change projections over the Mediterranean region". *Climate Dynamics*, No. 9–10, PP. 1695–1702.

Daubechies, I. 1992. *Ten lectures on wavelets*. Society for Industrial Mathematics.

Fan, Q., Yanxin, W., & Li, Z. 2013. "Complexity analysis of spatial-temporal precipitation system by PCA and SDLE". *Applied Mathematical Modelling*. No. 6, PP. 4059–4066.

Gallagher, C., & Lund, R. 2013. "Changepoint detection in climate time series with long-term trends". *Journal of Climate*. No. 26, 4994–5006.

Holman, I.P. 2005. "Climate change impacts on groundwater recharge- uncertainty, shortcomings, and the way forward?" *Hydrogeology Journal*, No. 5, PP. 637–647.

Joos, F., Prentice, C., Sitch, S., Meyer, R., Hooss, G., Platter, G.K., Gerber, S., & Hasselmann, K. 2001. "Global warming feedbacks on terrestrial carbon uptake under the Intergovernmental Panel on Climate Change (IPCC) emission scenarios". *Global Biogeochemical Cycles*, No.4, PP. 891–907.

Joshi, N., Gupta, D., Suryavanshi, S., Adamowski, J., & Madramootoo, C.A. 2016. "Analysis of trends and dominant periodicities in drought variables in India: A wavelet transforms based approach". *Atmospheric Research*. No. 182, PP. 200–220.

Kantelhardt, J. W., Koscielny- Bunde, E., Rybski, D., Braun, P., Bunde, A. & Havlin, S. 2006. "Long- term persistence and multifractality of precipitation and river runoff records". *Journal of Geophysical Research: Atmospheres*. No. D1, PP. 1-13.

Kantelhardt, J.W., Zschiegner, S.A., Koscielny-Bunde, E., Havlin, S., Bunde, A. & Stanley, H.E. 2002. "Multifractal detrended fluctuation analysis of nonstationary time series". *Physica A: Statistical Mechanics and its Applications*. No.1-4, PP. 87-114.

Koscielny-Bunde, E., Kantelhardt J.W., Braun P., Bunde, A., & Havlin, S. 2006. "Long-term persistence and multifractality of river runoff records: Detrended fluctuation studies". *Journal of Hydrology*. No.1-4, PP. 120-137.



- Labat, D. 2005. "Recent advances in wavelet analyses: part 1. A review of concepts". *Journal of Hydrology*, No.1–4, PP. 275–288.
- Liepert, B.G., & Previdi, M. 2009. "Do Models and Observations Disagree on the Rainfall Response to Global Warming?" *Journal of Climate*. No.11, PP. 3156-3166.
- Matsoukas, C., Islam, S., & Rodriguez- Iturbe, I. 2000. "Detrended fluctuation analysis of rainfall and streamflow time series". *Journal of Geophysical Research: Atmospheres*. No. 105, PP. 29165-29172.
- Meenu, R., Rehana, S., & Mujumdar, P. 2013. "Assessment of hydrologic impacts of climate change in Tunga-Bhadra river basin, India with HEC-HMS and SDSM". *Hydrological Processes*. No.11, PP. 1572–1589.
- Min, S.-K., X. Zhang, F. W. Zwiers, and G. C. Hegerl. 2011. "Human contribution to more-intense precipitation extremes". *Nature*. N0. 470, PP. 378–381.
- Nema, M., Khare, D., Adamowski, J.F., & Chandniha, D.K. 2018. "Spatio-temporal analysis of rainfall trends in Chhattisgarh State, Central India over the last 115 years". *Journal of Water and Land Development*. No.1, PP. 117–128.
- Pandey, B.K., Gosain, A.K., Paul, G., & Khare, D. 2017. "Climate change impact assessment on hydrology of a small watershed using semi-distributed model". *Applied Water Science*. No.4, PP. 2029–2041.
- Paul, R. K., Mitra, D., Paul, A. K., & Bhar, L. M. 2019. Long Memory and Structural Break in Seasonal Rainfall in India, *Special Proceeding of the 21st Annual Conference of SSCA held at SV Agricultural College (ANGRAU)*, Tirupati, during January 29-31, PP. 83-92.
- Peng, C.K., Havlin, S., Stanley, H.E., & Goldberger, A.L. 1995. "Quantification of scaling exponents and crossover phenomena in nonstationary heartbeat time series. Chaos: an interdisciplinary". *Journal of nonlinear science*. No.1, PP. 82-87.
- Priyadarshi, N., Soumya Bandyopadhyay, V. M. Chowdary, K. Chandrasekar, Jeganathan Chockalingam, Uday Raj & Chandra Shekhar Jha. 2020. "Segmentation-based approach for trend analysis and structural breaks in rainfall time series (1851–2006) over India". *Hydrological Sciences Journal*, No.9, PP. 1583-1595.
- Sang, Y. F., Wang, D., Wu, J.C., Zhu, Q.P., & Wang, L. 2009. "Entropy-based wavelet de-noising method for time series analysis". *Entropy*. No. 4, PP. 1123–1147.
- Sethi, R., Pandey, B.K., Krishan, R., Khare, D., & Nayak, P.C. 2015. "Performance evaluation and hydrological trend detection of a reservoir under climate change condition". *Modeling Earth Systems and Environment*, No. 4, PP. 1–10.
- Tebaldi, C., Hayhoe, K., Arblaster, J.M., & Meehl. G.A. 2006. "Going to the extremes: An intercomparison of model-simulated historical and future changes in extreme events". *Climatic Change*, No. 79, PP. 185–211.
- Trenberth, K. E. 2011. "Changes in precipitation with climate change". *Climate Res*. No. 47, PP. 123–138.



- Valencia, J.L., Requejo, A.S., Gasco, J.M., & Tarquis, A.M. 2010. "A universal multifractal description applied to precipitation patterns of the Ebro river basin". Spain. *Clim Res.* PP. 17-44.
- Zaveri, E., Grogan, D.S., Vanden, K.F., Frolking, S., Lammers, R.B., Wrenn, D.H., Prusevich, A., & Nicholas, R.E. 2016. "Invisible water, visible impact: groundwater use and Indian agriculture under climatec hange". *Environmental Research Letters*, No. 8, 084005.
- Zhou, Z.Q., S.-P. Xie, X.-T. Zheng, Q. Liu, and H. Wang. 2014. "Global warming-induced changes in El Niño teleconnections over the North Pacific and North America". *Journal of Climate*. No. 27, PP. 9050–9064.



Identification of structural breaks and change points of rainfall time series in mountainous areas (Case study: Khorramabad Synoptic Station)

Hamid Mirhashemi^{*1}, Assistant Professor of Geography Department, Faculty of Literature and Humanities, Lorestan University, Khorramabad, Iran.

Received: 1 January 2021

Accepted: 3 February 2021

Abstract

Identifying trends and structural breaks in the rainfall time series is one of the most important challenges in climate change studies. As the discovery of such structural breaks can help assess future scenarios and atmospheric phenomena such as floods and droughts. In this study, in order to identify structural breaks in the daily and monthly precipitation time series of Khorramabad synoptic station, two approaches of multifractal detrended fluctuation analysis (MF-DFA) and Maximal overlap discrete wavelet transform (MODWT) were used. The results of applying MF-DFA on the daily rainfall time series (1961-2018) showed that there are three structural breaks in this time series that the rainfall trend around these points has changed significantly. On the other hand, the results of this approach showed that the period 1985-2002 is the most fluctuating period of precipitation and the periods 1961-1969 and 2010-2018 are the periods with the lowest fluctuations in precipitation. Calculation of the fluctuation function at time scales of 2, 5, 10 and 20 years showed that in the period 2000-2018, fluctuations of 2 to 20 years have decreased. The results of the fluctuation function with q order also showed that the periods 1965-1970 and 1989-1994 were associated with large fluctuations in precipitation. If the two periods of 1999-2004 and 2008-2013 refer to periods with small fluctuations in precipitation. Also, the results obtained from the application of MODWT on the monthly rainfall time series showed that the wavelet coefficients changed in 2007. In this regard, by dividing the high frequency signals of the wave into two periods including 1961-2007 and 2008-2018, it was found that the differences between precipitation fluctuations during the scales of 8 to 16 months have the most variability in the precipitation time series.

Keywords: Fluctuation, Break, Multifractal, Wavelet, Khorramabad.

*¹ Corresponding Author: email: mirhashemi.h@lu.ac.ir

To cite this article:

Mirhashemi, H (2021). Identification of structural breaks and change point of rainfall time series in mountainous areas (Case study: Khorramabad Synoptic Station), Journal of Geographical Studies of Mountainous Areas, 1(4), 1-16. Doi:10.29252/gsma.1.4.1